

Vendelin S z a b ó

Ústav stavebnictva a architektúry SAV Bratislava

CHARAKTER STAVU NAPÁTIA V OKOLÍ ŠIKMEJ TRHLINY

Jednou z úloh experimentálnych metód určovania koeficientov intenzity napäti /KIN/ je overovanie správnosti vzťahov typu

$$K = \sigma_s / G_s , \quad (1)$$

kde σ_s je hodnota príslušnej zložky stavu napäti a G_s je geometrická funkcia polohy uvažovaného bodu oblasti/ prijatých na základe určitých predpokladov o chovaní sa telesa s trhlinou. Často používaným takýmto predpokladom je popis stavu napäti v okolí trhliny pomocou Westergaardovej funkcie napäti

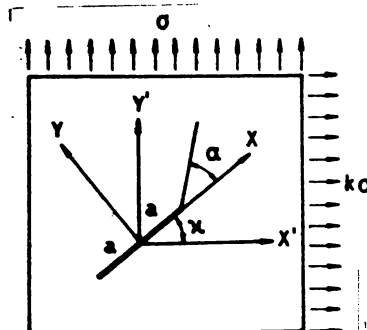
$$F/z' = \sigma_z [z^2 - a^2]^{-1/2}, \quad z = x + i.y \quad (2)$$

Platnosť rozpracovaných tzv. singulárnych riešení sa ohraňuje na veľmi malé okolie koreňa trhliny a mimo tejto oblasti sa nemôžu použiť ani za predpokladu, že hranice vyšetrovanej konečnej oblasti sú daleko a neovplyvnujú stav napäti v blízkosti trhliny.

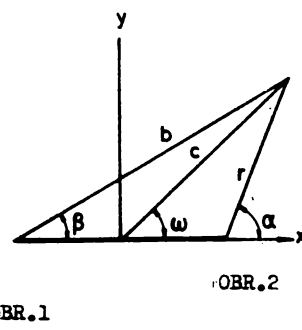
Na základe Westergaardovej funkcie (2) sme odvodili riešenie, ktoré dáva presné hodnoty zložiek vektora napäti bez limitujúcich predpokladov.

Uvažujme nekonečnú oblasť pri dvojosovom zaťažení C a C' pôsobiacom v smerech súradných osí y , resp. x /obr.1/. Nech v tejto oblasti sa nachádza centrálna trhлина dĺžky $2a$, ktorá zviera s osou x úhol χ . V libovolnom elemente, dostatočne vzdialenom od trhliny môžeme pôsobiace zaťaženie rozložiť do zložiek v smerech osí x, y a stav napäti v okolí trhliny uvažovať ako superpozíciu dvoch stavov: 1. od dvojosového zaťaženia C a C' v smerech osí y , resp. x

$$C' = C [\sin^2 \chi + \cos^2 \chi], \quad C = \frac{k \cos^2 \chi + \sin^2 \chi}{\sin^2 \chi + \cos^2 \chi}$$



OBR.1



OBR.2

a 2. od šmykového zataženia oblasti T

$$\tau = \sigma(1-k) \cdot \sin \chi \cdot \cos \chi .$$

Použitím Westergaardových vzťahov pre zložky napäti v súradnej sústave x,y po úpravách dostaneme

$$\sigma_{xx} = \sigma M \left\{ 0,25h [3 \cdot \cos(\nu + \xi) - \cos(\nu - \xi)] - 0,5g \cdot \sin(\delta + \xi) + (C - 1) \cdot \cos \xi \right\} \quad (3)$$

$$\sigma_{yy} = \sigma M \left\{ 0,25h [\cos(\nu + \xi) + \cos(\nu - \xi)] + 0,5g \cdot \sin(\delta + \xi) \right\}$$

$$\sigma_{xy} = \sigma M \left\{ 0,25h [\sin(\nu + \xi) - \sin(\nu - \xi)] + 0,5g \cdot \cos(\delta + \xi) \right\}$$

pri pomocných označeniamach

$$\nu = \frac{1}{2}(\alpha + \beta) - \omega, \quad \delta = \frac{3}{2}(\alpha + \beta), \quad M = [k^2 \sin^2 \chi + \cos^2 \chi]^{1/2}$$

$$g = a(b \cdot r)^{-1/2} \cdot \sin(\alpha - \beta)$$

$$h = 2 \cdot c(b \cdot r)^{-1/2} \quad (4)$$

Význam označení b,r, β a ω je zrejmý z obr.2.

Dôležitým parametrom odvodeného presného riešenia je uhol ξ

$$\xi = \chi - \arctg(k \cdot \tan \chi), \quad (5)$$

zavedený pomocou vzťahov

$$\sin \xi = M^{-1}(1-k) \sin \chi \cdot \cos \chi, \quad \cos \xi = M^{-1}(k \cdot \sin^2 \chi + \cos^2 \chi).$$

Ak označíme KIN pre spôsob zataženia I. $K_I = \sigma \sqrt{\pi t}$ a pre spôsob zataženia II. $K_{II} = \tau \sqrt{\pi t}$, t.j.

$$K_I = \sigma M \sqrt{\pi t} \cdot \cos \xi, \quad K_{II} = \sigma M \sqrt{\pi t} \cdot \sin \xi \quad (6)$$

potom ich pomer

$$K_{II} / K_I = \operatorname{tg} \xi \quad (7)$$

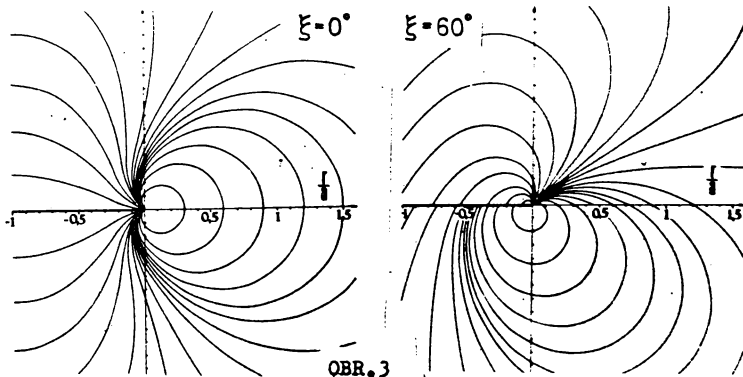
závisí len od uhlu ξ , ktorý experimentálne môžeme jednoducho určovať.

Na základe odvodených výrazov (3) môžeme tiež vyjadriť veličiny merané pomocou optických experimentálnych metod, ako sú rozdiely $R = \sigma_1 - \sigma_2$ a súčty $S = \sigma_1 + \sigma_2$ hlavných napäťí. Pre súčet hlavných napäťí dostávame relativne jednoduchý výraz

$$S = \sigma M [h \cos(\nu + \xi) + (C - 1) \cos \xi], \quad (8)$$

z ktorého vyplýva, že druhý člen na pravej strane je pre trhlinu danej konfigurácie a pre daný dvojosový stav zatiaženia v celej oblasti konštantný a nevplýva na charakter rozloženia izočiar S . Tvar izopáčov v závislosti od geometrických súradníck a uhlu ξ , definovaného vzťahom (6) určuje prvý člen rovnice. Kvalitatívny charakter pola izopáčov v okolí trhliny pre niektoré hodnoty ξ ukazuje obr. 3. Aj z uvedených obrázkov je vidieť, že čiary rovnakých súčtov hlavných napäťí majú podstatne jednoduchší a prehľadnejší charakter ako čiary rovnakých rozdielov hlavných napäťí a možno ich teda výhodnejšie použiť pre vyhodnocovanie stavu napätia v okolí šikmých trhliín.

Charakter pola izopáčov, vyplývajúceho z uvedeného analytického riešenia sa overí s experimentálnymi meraniami po-



mocou holograficko-interferenčnej metódy. Pri porovnávaní výsledkov sa ukázala veľmi dobrá zhoda, potvrdzujúca správnosť predpočítačového analytického riešenia a perspektívnosť na jeho základe vypracovanej experimentálnej metódy určovania KIN.

Pri experimentálnom určovaní KIN na základe meraných S vychádzame z rovnice (8), napísanej pre dva body 1 a 2 oblasti, neležiace na tej istej izopache. Odčítaním týchto rovníc od seba a po úpravách dostaneme

$$K_I = \sqrt{a\pi} \frac{S_2 - S_1}{h_2 \cdot \cos(\nu_2 + \xi) - h_1 \cdot \cos(\nu_1 + \xi)} \cdot \cos \xi \quad (9)$$

$$K_{II} = K_I \cdot \operatorname{tg} \xi .$$

Pre experimentálne meranie ξ môžeme využiť vlastnosťí izopách odvodit vzťah

$$\xi = \bar{\delta} - \delta - 90^\circ, \quad (10)$$

kde $\bar{\delta}$ je uhol medzi osou x a dotyčnicou k izopache.

Hodnoty S vyjadrimo v experimentálnych jednotkách $S = c_t \cdot m$, kde c_t je konštantá interferenčnej citlivosti modelu a m je rád izopachy. Potom $S_2 - S_1 = c_t \cdot (m_2 - m_1)$. Ak body 1 a 2 volíme na dvoch susedných izopachach $S_2 > S_1$, potom bude $m_2 - m_1 = 1$. Ďalej praktické vyhodnocovanie KIN bude výhodné robiť pozdĺž osi x, t.j. v smere trhliny. V tomto prípade $\alpha = \beta = \omega = v = 0$, $c = a + x$, $b = 2a + x$, potom

$$\xi = \bar{\delta} - 90^\circ$$

$$K_I = \frac{c_t \sqrt{a\pi}}{h_2 - h_1} \cdot \cos \xi \quad (11)$$

$$K_{II} = K_I \cdot \operatorname{tg} \xi .$$

Odvodené vzťahy úplne riešia úlohu určenia KIN. Ich zvláštnou vlastnosťou je, že pri vyhodnocovaní pomocou dvoch susedných izopách nepotrebuješme poznáť rády interferenčných čiar, t.j. absolútne hodnoty súčtov hlavných napäťí.